## ФИЗИЧЕСКОЕ И ЧИСЛЕННОЕ МОДЕЛИРОВАНИЕ АЭРОДИНАМИКИ ЦИКЛОННОГО НАГРЕВАТЕЛЬНОГО УСТРОЙСТВА С РАСПРЕДЕЛЕННЫМ ВВОДОМ ГАЗА

Засл. деятель науки и техн. России, докт. техн. наук, проф. САБУРОВ Э. Н., асп. МАЛЬЦЕВ А. Н.

Архангельский государственный технический университет

Циклонные нагревательные устройства, обладающие большими возможностями значительной интенсификации конвективного теплообмена, снижения тепловой инерционности и автоматизации процесса нагрева, получили широкое распространение в промышленности [1–3]. Поэтому представляет несомненный интерес дальнейшее исследование их аэродинамики, определяющей технологические особенности и высокую интенсивность рабочего процесса. В связи с развитием компьютерных технологий для исследований аэродинамики циклонных устройств наряду с физическим моделированием перспективным является использование численного.

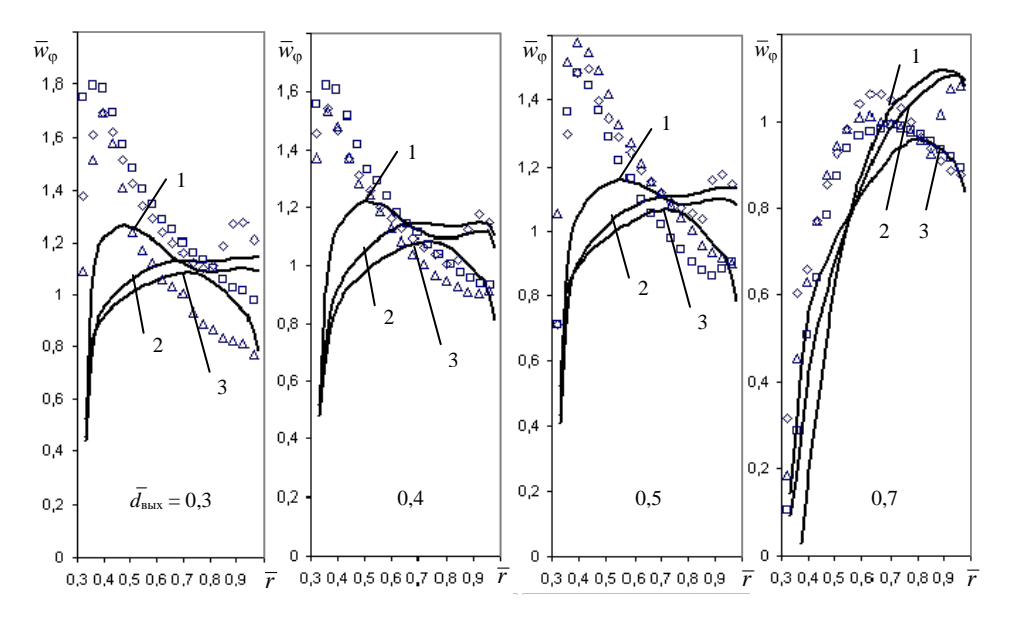
Физический эксперимент, результат которого приведен в работе, выполнен на модели циклонного нагревательного устройства (циклонной камеры), имеющей внутренний диаметр  $D_{\kappa} = 2R_{\kappa} = 310$  мм и длину  $L_{\kappa} =$ = 580 мм. Внутренняя поверхность рабочего объема камеры являлась технически гладкой с шероховатостью обычного стального проката. Подвод воздуха в камеру осуществлялся тангенциально с диаметрально противоположных сторон входными каналами прямоугольного поперечного сечения – шлицами с внутренними размерами 20×44 мм, расположенными практически равномерно (в шахматном порядке) по ее высоте. Оси ближайших к торцам рабочего объема шлицев находились на расстоянии  $z_{\text{ny}}$  от его глухого торца, равном 48 и 554 мм (г определялось по координате, совпадающей с осью рабочего объема). Безразмерные координаты местоположения шлицев  $z_{\text{вх}} = z_{\text{вх}}/D_{\text{к}}$ ,  $z_{\text{вх}}$  равнялись с одной стороны камеры 0,442; 0,884; 1,335; 1,72, а с другой – 0,151; 0,536; 0,987; 1,429. Такое расположение шлицев в целом создавало распределенную систему ввода воздуха. В опытах относительная площадь входа  $f_{\text{вх}} = 4f_{\text{вx}}/\pi D_{\text{к}}^2 = 0,936$ , а относительная высота шлицев  $\overline{h}_{\scriptscriptstyle \mathrm{BX}} = h_{\scriptscriptstyle \mathrm{BX}} / D_{\scriptscriptstyle \mathrm{K}} = 0,128$ . Отвод газа из камеры производился через обычный плоский пережим с относительным диаметром выходного отверстия  $d_{\text{вых}} = d_{\text{вых}}/D_{\text{к}}$ , равным 0,2-0,7. Воздух, выходящий из камеры, выбрасывался в атмосферу. Его расход измеряли нормальным соплом, температуру – ртутным термометром с ценой деления 1 °С.

Во всех опытах подробное исследование полей скоростей и давлений производили предварительно протарированными пятиканальными шаровыми зондами с диаметром шарика 5 мм, а в отдельных опытах – цилиндрическим трехканальным зондом с диметром насадка 2,6 мм. Сечения замеров имели относительные продольные координаты  $\overline{z}_c = z \sqrt{D_{\rm K}}$ , рав-

ные 0,226; 0,884 и 1,53, и находились в диаметральной плоскости, перпендикулярной тангенциальным шлицам. Вектор полной скорости, определяемой в каждой точке по радиусу камеры через 5 мм, раскладывался на три составляющие: тангенциальную  $w_{\phi}$ , осевую  $w_z$  и радиальную  $w_r$ . Перемещение зонда производили координатниками с точностью определения угла вектора полной скорости по отношению к горизонтали, равной 1°, и перемещения зонда в радиальном направлении 0,5 мм.

Численный эксперимент выполнен при использовании комплекса Ansys® CFD соde CFX® 10.0. В качестве базовой модели турбулентности использовали модель k— $\omega$ , которая представляет собой двухпараметрическую математическую модель, основанную на теории турбулентной вязкости [4]. Первоначально выполненные численные исследования с применением моделей Zero Equation (в основу модели положена теория пути смешения Прандтля) и k— $\varepsilon$  (двухпараметрическая модель, состоящая из системы уравнений турбулентной кинетической энергии в потоке и вихревой диссипации) показали предпочтительность использования модели k— $\omega$ .

На рис. 1 выполнено сопоставление опытных данных (точки) с расчетными распределениями (линии) безразмерной тангенциальной составляющей скорости потока  $\overline{w}_{\phi}(\overline{r})$  ( $\overline{w}_{\phi}=w_{\phi}/w_{\rm Bx},\,w_{\rm Bx}$  – среднерасходная скорость потока в шлицах;  $\overline{r}=r/R_{\rm K},\,r$  – текущий радиус). Представленные данные позволяют отметить, что результаты физического и численного экспериментов по уровню тангенциальных скоростей удовлетворительно соответствуют друг другу в периферийной части рабочего объема камеры (при  $\overline{r}>0,6$ ). Расчетные и соответствующие опытные распределения  $\overline{w}_{\phi}$  в окрестности заготовки различаются более существенно. Вероятно, это обусловлено принятыми расчетной геометрической схемой циклонной камеры и моделью турбулентности циклонного потока.



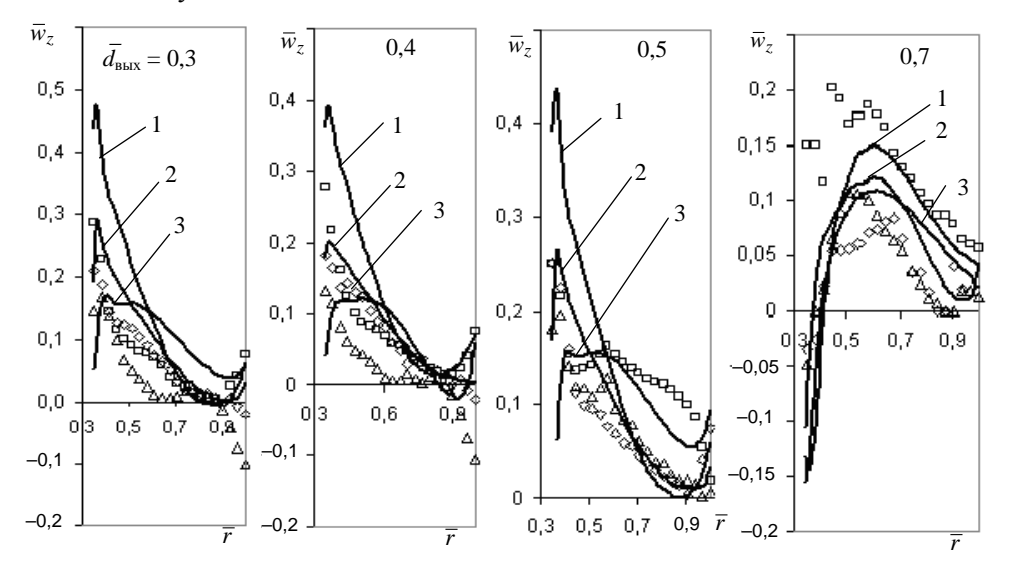
*Puc. 1.* Распределения опытных и расчетных значений  $\overline{w}_{\phi}$  при различных  $\overline{d}_{\text{вых}}$  и  $\overline{z}_{c}$ :

□  $-1-\overline{z}_{c}=1,53; \ \triangleright -2-0,884; \ \diamond -3-0,226$ 

Воздух в камеру вводился равномерно распределенными по высоте восьмью тангенциальными струями, по четыре с диаметрально противоположных сторон. Струи взаимодействуют между собой и введенными в рабочий объем уже закрученными газами, образуют сложное поле скоростей, которое, вероятно, может быть рассчитано лишь при более сложной модели турбулентности (LES, DES и др.), что потребует в свою очередь применения многопроцессорных кластерных систем вычисления и значительного увеличения времени расчета. В то же время следует отметить, что полученные расчетные и опытные данные правильно описывают характерные особенности влияния параметра  $\overline{d}_{\text{вых}}$  на распределения  $\overline{w}_{\phi}$  в циклонной камере с загруженным рабочим объемом [1–3]. С увеличением диаметра выходного отверстия как опытные, так и расчетные безразмерные значения максимальной вращательной составляющей скорости потока снижаются, положение максимума  $\overline{w}_{\phi}$  смещается в область больших значений  $\overline{r}$ .

Следует заметить, что в более простых общих расчетных схемах геометрии циклонной камеры, например с локальным двусторонним вводом [5–6], а также для циклонных сепараторов [7, 8] совпадение расчетных данных, полученных с использованием пакета гидродинамического моделирования  $\mathrm{CFX}^{\$}$  10.0 (при применении той же двухпараметрической модели турбулентности k– $\omega$ ), с результатами физического эксперимента по исследованию распределений  $\overline{w}_{\varphi}$  было значительно лучшим.

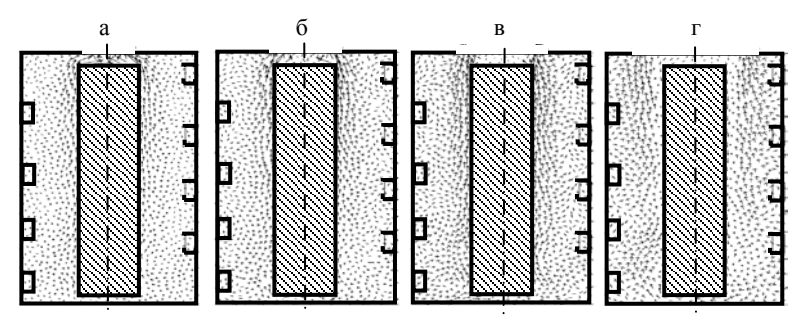
Более удачное совпадение расчетных и опытных данных наблюдалось для осевой составляющей скорости потока  $w_z$ . На рис. 2 приведены ее безразмерные величины  $\overline{w}_z = w_z/w_{\rm BX}$ . Положительные значения  $\overline{w}_z$  соответствуют осевому направлению движения потока от глухого торца камеры к выходному.



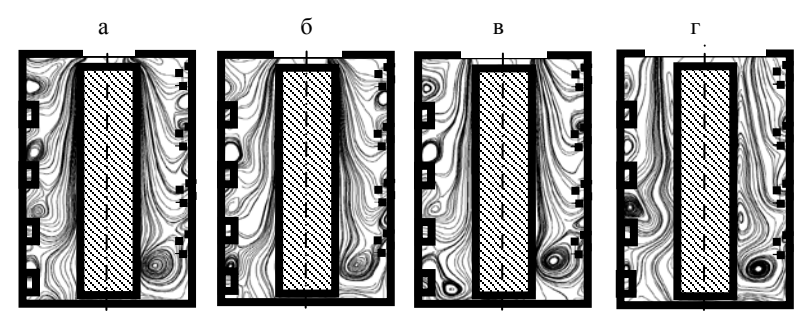
*Puc. 2.* Распределения опытных и расчетных значений  $\overline{w}_z$  при различных  $\overline{d}_{\text{вых}}$  и  $\overline{z}_c$ : □  $-1-\overline{z}_c=1,53;$   $\triangleright -2-0,884;$   $\lozenge -3-0,226$ 

На данном этапе компьютерного моделирования аэродинамики циклонно-вихревых камер одним из его важнейших достоинств является возможность исследования вторичных течений в циклонном потоке, его структуры. Численное моделирование позволяет получить трехмерное поле скоростей — объемную картину течения. Что дает возможность выполнить анализ циклонного потока, рассматривая поле скоростей или проекции вектора полной скорости в различных плоскостях и областях течения.

На рис. 3 приведены расчетные проекции вектора полной скорости потока на диаметральную плоскость, перпендикулярную входным шлицам, а на рис. 4 — расчетные проекции траекторий частиц потока, ограничивающие потоки и вихревые области в рабочем объеме циклонного нагревательного устройства, на ту же плоскость. На рис. 3 и 4 показаны также контуры заготовки и поперечного сечения входных шлицев.



*Рис. 3.* Схемы осевых иррадиальных движений потока при различных значениях  $\overline{d}_{\text{вых}}$ :  $a-\overline{d}_{\text{вых}}=0.3;~6-0.4;~b-0.5;~r-0.7$ 



*Puc. 4.* Траектории движения циклонного потока при различных значениях  $\overline{d}_{\text{вых}}$ :  $a-\overline{d}_{\text{вых}}=0,3;\ 6-0,4;\ B-0,5;\ r-0,7$ 

Представленные данные позволяют отметить, что поле скоростей в рабочем объеме циклонного устройства отличается сложностью и пространственностью, обилием циркуляционных и вихревых зон, предопределяющих интенсивное перемешивание газов. В связи с общим смещением шлицев одной стороны рабочего объема по сравнению с другой (диаметрально противоположной) к выходному торцу рабочего объема наблюдается некоторое нарушение осевой симметрии вторичных течений как в периферийной зоне (у боковой поверхности рабочего объема), так и в центральной (околозаготовочной). Общая картина вторичных течений при  $\overline{d}_{\text{вых}} = 0,3-0,5$  практически сохраняется. При  $\overline{d}_{\text{вых}} = 0,7$  наблюдается нарушение устойчивости и проточности течения в окрестности заготовки, появляются вытянутые в продольном направлении циркуляционные зоны, оттесняющие выходной вихрь от ее поверхности. Истечение газов из камеры в этом

случае происходит по кольцу, имеющему внутренний диаметр, несколько больший, чем при меньших  $\overline{d}_{\text{вых}}$ . Схема течения потока в нижней части рабочего объема, примыкающей к глухому торцу, в меньшей степени зависит от диаметра выходного отверстия камеры.

## выводы

- 1. Программный комплекс CFX<sup>®</sup> 10.0 может быть использован для определения аэродинамических характеристик циклонно-вихревых нагревательных устройств и дальнейшего совершенствования методики их аэродинамического расчета. Однако необходимая точность расчетов при применяемых в настоящее время моделях турбулентности k– $\omega$ , k– $\varepsilon$  и RSM, вероятно, может быть достигнута лишь в определенных диапазонах геометрических и режимных характеристик нагревательных устройств. Интервал диапазонов зависит от их технологического назначения и может быть определен сопоставлением результатов численного и физического экспериментов.
- 2. Численный эксперимент с использованием  $CFX^{\otimes}$  10.0 позволяет исследовать структуру вторичных течений циклонного потока, что часто сложно осуществить применяемыми в настоящее время методами физического эксперимента.

## ЛИТЕРАТУРА

- 1. С а б у р о в, Э. Н. Циклонные нагревательные устройства с интенсифицированным конвективным теплообменом / Э. Н. Сабуров. Архангельск: Арханг. гос. техн. ун-т; Сев.-Зап. кн. из-во, 1995. 341 с.
- 2. С а б у р о в, Э. Н. Теория и практика циклонных сепараторов, топок и печей / Э. Н. Сабуров, С. В. Карпов; под ред. Э. Н. Сабурова. Архангельск: Изд-во Арханг. гос. техн. ун-та, 2000.-568 с.
- 3. С а б у р о в, Э. Н. Аэродинамика и конвективный теплообмен в циклонных нагревательных устройствах / Э. Н. Сабуров. Л.: Изд-во ЛГУ, 1982. 240 с.
  - 4. ANSYS® CFX®- 10.0<sup>TM</sup> Users Guide.
- 5. С а б у р о в, Э. Н. Численное исследование аэродинамики и вихревой структуры потока циклонно-вихревой камеры с разносторонним вводом-выводом газов / Э. Н. Сабуров, А. Н. Мальцев // Наука Северному региону: сб. Вып. 76. Архангельск, 2008. С. 142—157
- 6. О с т а ш е в, С. И. Результаты численного моделирования аэродинамики циклонных секционных нагревательных устройств с поперечной подачей заготовок / С. И. Осташев, Э. Н. Сабуров, А. Н. Мальцев // Вестник Арханг. гос. техн. ун-та. Сер. Энергетика. Вып. 63. Архангельск: Изд-во Арханг. гос. техн. ун-та, 2006. 142 с.
- 7. Hoekstra, A. J. An experimental and numerical study of turbulent swirling flow in gas cyclones [текст] / A. J. Hoekstra, J. J. Derksen, Van Den Akker // Chem. Eng. Sci. 1999. № 54. P. 2055–2065.
- 8. Griffiths, W. D. Computational Fluid Dynamics (CFD) and Empirical Modeling of the Performance of a Number of Cyclone Samplers / W. D. Griffiths, F. Boysan // Journal of Aerosol Science. -1996. -N 2. -P. 281-304.

Представлена кафедрой теплотехники № 6

Поступила 20.04.2010